

УДК 536.46

ИССЛЕДОВАНИЕ ПОГАСАНИЯ ПОРОХА В МОДЕЛИ ГОРЕНИЯ  
С ПЕРЕМЕННОЙ ТЕМПЕРАТУРОЙ ПОВЕРХНОСТИ

B. A. Фрост, B. L. Юмашев

(Москва)

Приводятся результаты расчета скорости нестационарного горения пороха при спаде давления, полученные путем численного интегрирования уравнений теории нестационарного горения с учетом переменной температуры поверхности  $k$ -фазы. При быстрых и глубоких спадах давления наблюдается погасание, при этом не требуется введение особых условий погасания. Изменение скорости горения в процессе погасания носит плавный характер.

Из эксперимента известно, что при достаточно быстром и глубоком спаде давления порох гаснет [1]. Для исследования погасания пороха воспользуемся теорией нестационарного горения Я. Б. Зельдовича и Б. В. Новожилова [2-4]. Основные предположения этой теории следующие:

- 1) химические реакции в  $k$ -фазе происходят только в очень тонком слое на поверхности;
- 2) реакционный слой  $k$ -фазы и газовое пламя при изменении внешних условий перестраиваются практически мгновенно и все время находятся в квазистационарном состоянии;
- 3) нестационарность горения определяется только инерционностью прогретого слоя  $k$ -фазы. Перестройка прогретого слоя в системе координат, связанной с поверхностью  $k$ -фазы, описывается уравнением

$$\frac{\partial T}{\partial t} = \kappa \frac{\partial^2 T}{\partial x^2} - u \frac{\partial T}{\partial x} \quad (-\infty < x \leq 0) \quad (0.1)$$

Здесь  $x$  — координата, нормальная к поверхности  $k$ -фазы,  $t$  — время,  $u = u(t)$  — скорость горения,  $T = T(x, t)$  — распределение температуры в  $k$ -фазе,  $\kappa$  — коэффициент температуропроводности  $k$ -фазы.

Тепловой поток из зоны реакции в прогретый слой и температура поверхности  $k$ -фазы определяются процессами, происходящими в зоне разложения  $k$ -фазы и в газовом пламени, и в силу сделанных предположений зависит только от мгновенных значений давления и скорости горения [4]

$$(\partial T / \partial x)_{x=0} = \varphi(p, u) \quad (0.2)$$

$$T_{x=0} = T_s(p, u) \quad (0.3)$$

Соотношения (0.2) и (0.3) справедливы и в стационарном случае, поэтому они могут быть определены по экспериментальным зависимостям скорости стационарного горения и температуры поверхности от давления и начальной температуры пороха [4]. Уравнение (0.1) с граничными уравнениями (0.2) и (0.3) позволяет определить скорость горения, если заданы начальное распределение температуры и закон изменения давления во времени.

В случае постоянной температуры поверхности ( $T_s = \text{const}$ ) погасание проявляется как невозможность согласовать мгновенное тепловое состояние  $k$ -фазы с условиями (0.2) и (0.3) [3, 5]. Однако в случае перемен-

ной температуры поверхности такое объяснение погасания встречает трудности. Возможность погасания вводится в теорию при помощи предположения, что на кривых  $\varphi(u)$ , изображающих зависимость (0.2) при  $p = \text{const}$ , существуют предельные точки при конечных значениях скорости горения и градиента температуры, за которыми горение невозможно [6, 7]. Выход за эти точки в процессе нестационарного горения рассматривается как погасание. Как в случае  $T_s = \text{const}$ , так и при наличии предельных точек погасание происходит скачком: непосредственно перед моментом погасания скорость горения еще довольно велика и по порядку величины близка к скорости стационарного горения.

В данной работе приведены результаты расчета скорости нестационарного горения при спаде давления с учетом переменной температуры поверхности  $k$ -фазы, полученные путем численного решения системы уравнений (0.1) — (0.3). Показано, что погасание происходит и при отсутствии предельных точек в зависимости (0.2). Изменение скорости горения во времени в процессе погасания носит плавный характер.

1. Рассмотрим горение пороха при переменном давлении. Предположим, что до момента  $t = 0$  происходит стационарное горение пороха. Удобно перейти к безразмерным переменным

$$\begin{aligned} t' &= \frac{(u^\circ)^2 t}{\chi}, & x' &= \frac{u^\circ x}{\chi}, & p' &= \frac{p}{p^\circ} \\ u' &= \frac{u}{u^\circ}, & \Phi' &= \frac{\Phi}{\Phi^\circ}, & T' &= \frac{T - T_0}{T_s^\circ - T_0} \end{aligned}$$

Здесь  $T_0$  — начальная температура пороха, градусом отмечены параметры исходного стационарного режима, а штрихом — безразмерные переменные. В дальнейшем штрих опускается, поскольку размерные переменные больше не будут использоваться. Исходные стационарные значения безразмерных давления, скорости горения, температуры поверхности и градиента температуры равны единице. Уравнение теплопроводности в безразмерных переменных

$$\frac{\partial T}{\partial t} = \frac{\partial^2 T}{\partial x^2} - u \frac{\partial T}{\partial x} \quad (-\infty < x \leq 0) \quad (1.1)$$

Предположим, что температура и градиент температуры на поверхности  $k$ -фазы определяются соотношениями

$$u = p^{a, \infty} \exp k (T_s - \Phi / u) \quad (1.2)$$

$$u = e^{m(T_s - 1)} \quad (1.3)$$

Здесь  $k$  и  $m$  — постоянные величины, совпадающие с определением [6] ( $m = k / r$ ). Выбор зависимостей (1.2) и (1.3) означает выбор определенной модели горения пороха. Формула (1.2) соответствует постоянному коэффициенту температурной чувствительности скорости стационарного горения  $\beta = (\partial \ln u^\circ / \partial T_0)_p$ . Формула (1.3) аппроксимирует закон пиролиза  $k$ -фазы. Разрешим (1.2) и (1.3) относительно  $T_s$  и  $\Phi$

$$T_s = 1 + m^{-1} \ln u \quad (1.4)$$

$$\Phi = u [1 + (1/m - 1/k) \ln u + 0.69 k^{-1} \ln p] \quad (1.5)$$

Изобары зависимости (1.5) изображены на фиг. 1 для случая  $k = 1.4$ ,  $m = 10$ . При любом давлении соотношения (1.4) и (1.5) допускают единственный режим стационарного горения с параметрами

$$u = p^{0.69}, \quad T_s = 1 + 0.69 m^{-1} \ln p, \quad \Phi = p^{0.69} (1 + 0.69 m^{-1} \ln p) \quad (1.6)$$

(кривая С на фиг. 1).

В момент времени  $t = 0$  начинается спад давления, происходящий по экспоненциальному закону

$$p(t) = p_k + (1 - p_k) e^{-t/\Delta t} \quad (1.7)$$

Здесь  $\Delta t$  — характерное время спада давления,  $p_k$  — уровень давления после спада.

В начальный момент времени температура в  $k$ -фазе распределена по закону

$$T(x, 0) = e^x \quad (-\infty < x \leq 0) \quad (1.8)$$

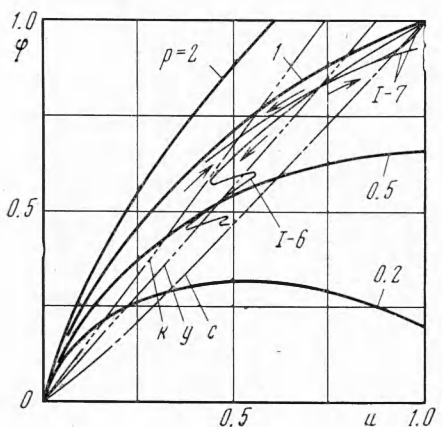
На бесконечном удалении от поверхности сохраняется начальная температура пороха

$$T(-\infty, i) = 0 \quad (1.9)$$

Определение скорости горения сводится к решению уравнения (1.1) при условиях (1.4), (1.5), (1.7) — (1.9).

Для численного решения полученной системы интервал  $(-\infty < x \leq 0)$  отображается на единичный отрезок  $(0 \leq y \leq 1)$  при помощи преобразования координат  $y = 1 - e^{zx}$ .

Здесь  $\alpha$  — параметр преобразования, выбираемый из соображения наибольшей точности численного метода и, вообще говоря, переменный во времени. Вводится конечно-разностная аппроксимация дифференциального уравнения и граничных условий на прямоугольной пространственно-временной сетке (в данном случае сетка содержала 32 интервала по координате, а шаг по времени составлял 0.02 и менее). Возникающая в результате аппроксимации нелинейная алгебраическая система решается итерационным способом. Скорость горения определяется в последовательные, дискретно расположенные моменты



Фиг. 1

времени; одновременно рассчитывается распределение температуры в  $k$ -фазе.

В таблице приведены значения параметров  $k$ ,  $m$ ,  $\Delta t$ ,  $p_k$  в расчетах, результаты которых рассматриваются далее. В соответствии с таблицей варианты модели пороха (параметры  $k$  и  $m$ ) будут обозначаться в тексте и на фигурах римскими цифрами, а варианты спада давления (параметры  $\Delta t$  и  $p_k$ ) — дополнительными арабскими цифрами.

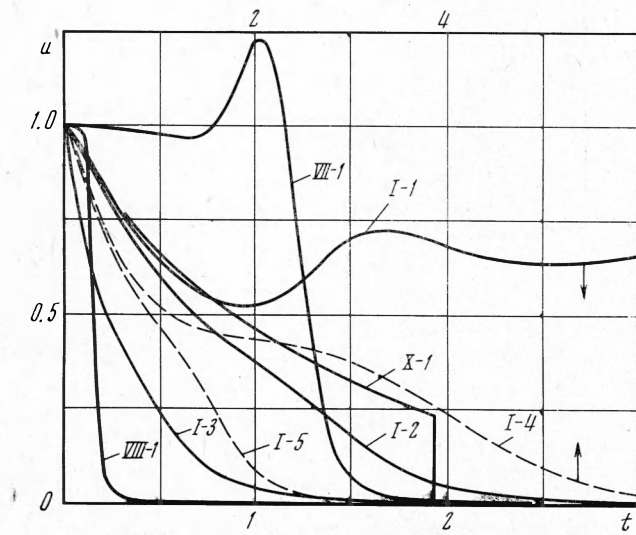
2. Результаты расчетов показали, что существуют два различных режима нестационарного горения пороха при спаде давления. На фиг. 2 показано изменение скорости горения во времени для ряда рассчитанных режимов.

В варианте I — 1 скорость горения с течением времени выходит на новый стационарный уровень  $u \approx 0.7$ , соответствующий значению  $p_k = 0.6$ . Этот процесс сопровождается колебаниями скорости горения, которые возникают во время быстрого изменения давления и затухают по мере выхода на стационарный режим в соответствии с [6].

В варианте I — 2, незначительно отличающемся от I — 1 только временем спада, скорость горения монотонно убывает с течением времени, достигая величины  $\sim 10^{-3}$ , и становится практически постоянной. Нуль

Модель пороха			Спад давления		
№ варианта	$k$	$m$	№ варианта	$\Delta t$	$p_k$
I	1.4	10	1	1.1	0.6
			2	1.0	0.6
			3	0.02	0.85
			4	2.5	0.26
			5	2.5	0.23
			6	2.0	0.37
			7	0.02	0.87
II	1.6	10			
III	1.4	15			
IV	1.4	7			
V	0.6	10			
VI	0.4	10			
VII	2	10	1	10	0.99
VIII	2	15	1	10	0.99
IX	0.5				
X	0.5	100	1	1.0	0.18

не достигается из-за вида соотношения (1.3), согласно которому даже при температуре поверхности, равной начальной температуре пороха ( $T_s = 0$ ), скорость горения равна  $e^{-m} > 0$  (при  $m = 10$  это составляет  $\sim 10^{-4}$ ).



Фиг. 2

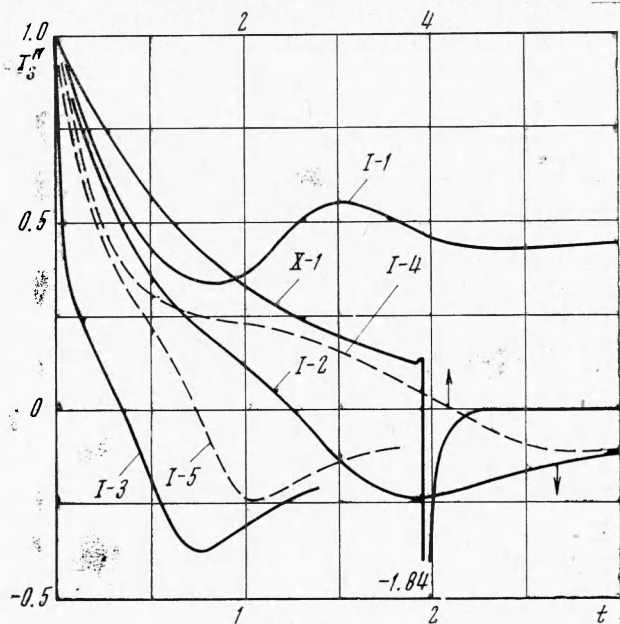
Однако по сравнению со стационарной скоростью горения новый уровень означает практически отсутствие горения, поэтому можно считать, что произошло погасание.

Достигнутый режим горения с малой скоростью, несмотря на ее постоянство, не является стационарным ввиду (1.6). Следовательно, при постоянной скорости горения продолжается перестройка прогретого слоя, и в конце концов должны произойти увеличение скорости горения (повтор-

ная вспышка) и выход на стационарный режим. Однако при столь малой скорости горения характерное время перестройки прогретого слоя ( $\sim 1/u^2$ ) чрезвычайно велико, поэтому выход из состояния погасания произойдет в необозримо отдаленные времена ( $\sim 10^6$ ).

Будем называть погасанием режимы нестационарного горения при сбросе давления, в которых скорость горения не выходит на стационарное значение, соответствующее новому уровню давления, а асимптотически убывает до нуля или до очень малой величины. Остальные режимы удобно назвать режимами перехода к новому стационарному состоянию, или кратко — режимами перехода.

3. Полученные при расчетах режимы погасания характеризуются тем, что горение в этих режимах прекращается не скачком, а постепенно, в результате плавного и непрерывного уменьшения скорости горения.



Фиг. 3

Погасание происходит таким образом даже при очень быстром спаде давления — в этом случае оно наступает спустя заметное время после завершения сброса давления (см. кривую  $I-3$  на фиг. 2). Изменение скорости горения и в режиме погасания, и в режиме перехода при близких характеристиках сброса давления начинается одинаково (кривые  $I-1$  и  $I-2$  на фиг. 2); расхождение между этими режимами плавно увеличивается с течением времени.

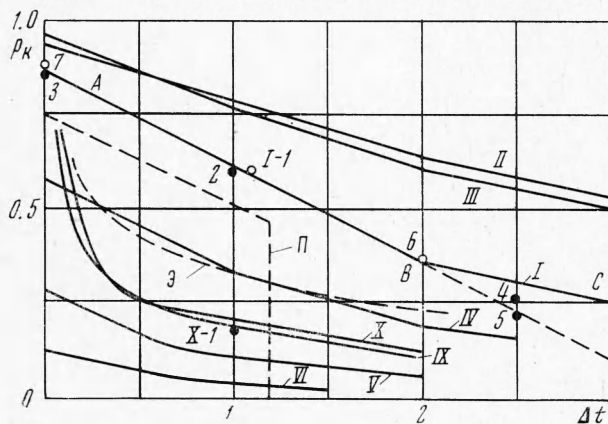
При анализе распределений температуры в  $k$ -фазе, полученных в ходе расчетов, было замечено, что всегда при погасании вторая производная от температуры по координате у поверхности  $k$ -фазы  $T_s''$  становится отрицательной. На профиле температуры появляется точка перегиба, которая с течением времени смещается в глубь  $k$ -фазы. Если погасание не происходит, то величина  $T_s''$  все время остается положительной, и профиль температуры не имеет точки перегиба. На фиг. 3 показано изменение  $T_s''$  во времени для ряда режимов погасания и перехода.

Условие  $T_s'' \leq 0$  является, таким образом, существенным признаком погасания. Однако выполнение этого условия не означает с необходимостью

стью последующего погасания пороха. В частности, при мгновенном сбросе давления в случае модели пороха с переменной температурой поверхности градиент температуры  $\varphi$  уменьшается скачком, при этом  $T_s$  обращается в  $-\infty$  и затем некоторое время остается отрицательной. Тем не менее погасание при небольших глубинах сброса не наступает.

Физический смысл рассмотренного условия заключается согласно (1.1) в том, что в области, где вторая производная от температуры по координате отрицательна, отсутствует нагрев частиц пороха при их продвижении к поверхности.

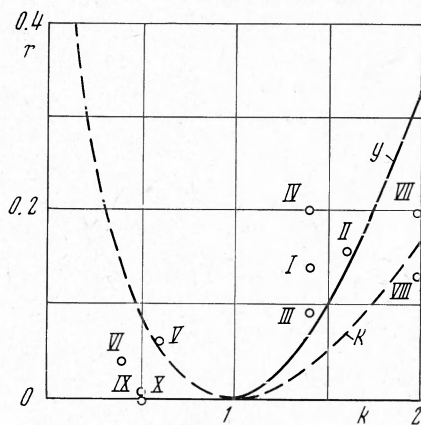
4. В результате расчетов нестационарного горения при спаде давления с различными значениями  $p_k$  и  $\Delta t$  для вариантов модели пороха из таблицы были найдены «линии погасания», то есть границы, выше которых в координатах  $(\Delta t, p_k)$  расположена область, где погасание не наблюдается, а ниже — область, где спад давления приводит к погасанию.



к погасанию. Процесс погасания в этом случае развивается в два этапа и является более длительным. Только на заключительном этапе погасание определяется окончательно; тогда же появляется существенный признак погасания:  $T''_s < 0$  (фиг. 3).

Излом линии погасания можно объяснить тем, что погасание может происходить на первом или втором периоде колебаний скорости горения, и что для каждого способа погасания существует своя критическая линия: прямая  $AB$  — в первом случае и прямая  $BC$  — во втором. Погасание на втором периоде колебаний происходит тогда, когда соответствующая критическая линия оказывается выше, т. е. после пересечения линий в точке  $B$ . Если продолжить прямую  $AB$  за пересечение (на фиг. 4 показано пунктиром), то ниже этой линии погасание по-прежнему происходит по первому способу (кривая  $I - 5$  на фиг. 2).

С ростом  $\Delta t$  линия погасания претерпевает дальнейшее искривление, соответствующее переходу к еще более затянутым процессам погасания.



Фиг. 5

5. Рассмотрим влияние параметров  $k$  и  $m$  на процесс погасания. Согласно теории Б. В. Новожилова [9] параметры  $k$  и  $m$  определяют устойчивость горения пороха в исходном стационарном режиме. На фиг. 5 в координатах  $(k, r = k/m)$  показаны границы области устойчивости (линия  $Y$ ) и области существования у пороха собственных колебаний (линия  $K$ ). Модели пороха из таблицы отмечены на фиг. 5 точками.

Линии погасания  $II$  и  $III$  (фиг. 4) имеют такой же характер, как и линия погасания  $I$ , однако расположены выше нее, что означает погасание при менее глубоких спадах давления. Это согласуется с тем, что точки  $II$  и  $III$  на фиг. 5 расположены ближе к границе устойчивости, чем точка  $I$ . Напротив, по мере удаления пороха от границы устойчивости линии погасания идут ниже (варианты  $IV$ ,  $V$ ,  $VI$ ).

На фиг. 4 приведена экспериментальная линия погасания (линия  $\mathcal{E}$ ) для пороха  $H$ , взятая из работы [1] (случай  $p_n = 40 \text{ кг}/\text{см}^2$ ). Между этой линией и результатами расчетов наблюдается качественное согласие, особенно для варианта  $IV$ . Получение полного качественного совпадения при использовании модельных зависимостей (1.4) и (1.5) вряд ли возможно.

Было рассмотрено нестационарное горение порохов в случае, когда исходный стационарный режим лежит в области неустойчивости (варианты  $VII$  и  $VIII$ ). В расчетах задавалось малое изменение давления (см. таблицу). Результаты расчетов приведены на фиг. 2. В режиме  $VII - I$

наблюдаются колебания скорости горения с резко возрастающей амплитудой, в результате чего уже на втором периоде колебаний происходит погасание. В режиме VII — I скорость горения с самого начала монотонно убывает со все большей скоростью, пока не наступает погасание. Это отличие объясняется тем, что точки VII и VIII на фиг. 5 расположены в областях колебательной и монотонной потери устойчивости соответственно.

При неограниченном увеличении параметра  $m$  наступает переход к случаю  $T_s = \text{const}$ , рассмотренному Я. Б. Зельдовичем [3]. Для реализации этого случая в расчетах полагалось  $m^{-1} = 0$  (вариант IX). Был рассмотрен также промежуточный вариант X, в котором  $m = 100$ . Линии погасания в этих вариантах, представленные на фиг. 4, довольно близки.

В случае  $T_s = \text{const}$  существует отчетливо выраженный момент погасания, до которого удается провести расчет скорости горения. В этот момент решение исходной системы уравнений исчезает, и итерационный процесс расчета перестает сходиться. Согласно результатам расчета, скорость горения монотонно убывает, но к моменту погасания она все еще довольно велика: горение прекращается скачком.

В случае  $m = 100$  скорость горения сначала плавно уменьшается (кривая X — I на фиг. 2), как и в режимах перехода. Однако в некоторый момент времени (в данном примере  $t = 1.94$ ) наблюдается резкое падение скорости горения до величины  $\sim 10^{-6}$ , т. е. наступает погасание. Хотя скорость горения изменяется во времени непрерывно, как и в рассмотренных выше случаях умеренных  $m$ , характер погасания весьма близок к скачкообразному. Таким образом, переход к случаю  $T_s = \text{const}$  происходит непрерывно как по форме линии погасания, так и по характеру изменения скорости горения во времени.

В работе [5] тоже рассматривалось погасание на основе теории [2] для модели пороха с постоянной температурой поверхности и постоянным коэффициентом температурной чувствительности скорости стационарного горения  $(\partial \ln u^\circ / \partial T_0)_p$ . В отличие от настоящей работы, система уравнений, описывающая нестационарное горение пороха, решалась методом интегральных соотношений, для чего задавался вид распределения температуры в  $k$ -фазе. Кроме того, рассматривался несколько иной закон изменения давления во времени. На фиг. 4 приведена линия погасания, полученная в работе [5] для случая, совпадающего с вариантом IX, пересчитанная в координатах  $p_k$  и  $\Delta t$  (линия II). Она идет заметно выше, чем линии IX и X, и обрывается при  $\Delta t = 1.19$  (согласно [5] при больших значениях  $\Delta t$  погасание не происходит). Такое отличие связано, скорее всего, с использованием различных методов решения исходных уравнений; различие законов изменения давления играет второстепенную роль.

**6.** Предположение о предельных точках в зависимости  $\varphi(p, u)$ , которое используется в работах [6, 7] для объяснения погасания, связано со способом определения этой функции по экспериментальной зависимости скорости стационарного горения от давления и начальной температуры. Экспериментальные данные позволяют построить функцию  $\varphi(p, u)$  только в ограниченной области изменения параметров, поскольку за ее пределами не удается получить режимов стационарного горения. Это может объясняться неустойчивостью стационарного горения в области за предельными точками, что не исключает возможность горения в нестационарном режиме (см., например, [10]).

Исследуем устойчивость горения пороха в модели, определяемой зависимостями (1.4) и (1.5), которые использованы в настоящей работе. Любой паре значений  $\varphi, u$  ( $u > e^{-m}$ ) соответствует режим стационарного горения при определенных давлении и начальной температуре. Устойчивость

этого режима определяются локальными значениями  $k'$  и  $r'$  (не смешивать с  $k$  и  $r = k/m$  — параметрами зависимостей (1.4) и (1.5)). Согласно определению [9] локальные параметры связаны с производными функций (1.4) и (1.5)

$$\frac{k' + r' - 1}{k'} = \left( \frac{\partial \ln \varphi}{\partial \ln u} \right)_p, \quad \frac{r'}{k'} = \frac{u}{p} \left( \frac{\partial T_s}{\partial \ln u} \right)_p$$

Выражая отсюда  $k'$  и  $r'$  и подставляя их в критерий устойчивости [9], получим уравнение границы устойчивости в координатах  $(u, \varphi)$

$$\left( \frac{\varphi}{u} \right)_Y = \frac{2m + k + \sqrt{8mk + k^2}}{2mk}$$

Граница устойчивости для случая  $k = 1.4$ ,  $m = 10$  показана на фиг. 1 (линия  $Y$ ). Область неустойчивости стационарного горения расположена левее этой линии. При экспериментальном определении зависимость (1.4) могла бы быть построена только справа от границы устойчивости, а граница устойчивости выступала бы в качестве предельной линии.

Из [9] также следует уравнение границы существования у пороха собственных колебаний скорости горения (линия  $K$  на фиг. 1).

$$\left( \frac{\varphi}{u} \right)_K = \frac{m + k + 2\sqrt{mk}}{mk}$$

Результаты расчетов показывают, что выход процесса нестационарного горения за границу устойчивости не означает погасание. Это иллюстрируют траектории режимов перехода  $I - 6$  и  $I - 7$  в координатах  $(u, \varphi)$ , изображенные на фиг. 1. Траектория  $I - 6$  дважды пересекает границу устойчивости, а траектория  $I - 7$  пересекает даже границу существования собственных колебаний.

Поступила 16 XI 1972

#### ЛИТЕРАТУРА

1. Маршаков В. Н., Лейпунский О. И. Горение и потухание пороха при быстром спаде давления. Физика горения и взрыва, 1967, № 2.
2. Зельдович Я. Б. К теории горения порохов и взрывчатых веществ. ЖЭТФ, 1942, т. 12, № 11, 12.
3. Зельдович Я. Б. О скорости горения пороха при переменном давлении. ПМТФ, 1964, № 3.
4. Новожилов Б. В. Теория нестационарного горения гомогенных порохов. Физика горения и взрыва, 1968, № 4.
5. Истратов А. Г., Либрович В. Б., Новожилов Б. В. О приближенном методе в теории нестационарной скорости горения пороха. ПМТФ, 1964, № 3.
6. Новожилов Б. В. Нестационарное горение порохов, имеющих переменную температуру поверхности. ПМТФ, 1967, № 1.
7. Новиков С. С., Рязанцев Ю. С. Анализ условий прекращения горения пороха. ПМТФ, 1969, № 2.
8. Фрост В. А. О погасании пороха при изменении давления. ПМТФ, 1972, № 5.
9. Новожилов Б. В. Критерий устойчивости стационарного режима горения пороха. ПМТФ, 1965, № 4.
10. Либрович В. Б., Новожилов, Б. В. Автомодельные решения в теории нестационарной скорости горения пороха. ПМТФ, 1971, № 4.